

**EVALUACIÓN DE CAPTURA DE CARBONO EN SISTEMAS PRODUCTIVOS
DE CAFÉ (*Coffea arabica* L.), CONSACÁ, NARIÑO – COLOMBIA.**

**CARBON STORAGE EVALUATION IN COFFEE SYSTEMS (*Coffea arabica* L.),
CONSACÁ, NARIÑO - COLOMBIA.**

María Alejandra Jurado Riascos¹. Héctor Ramiro Ordoñez Jurado²; William Ballesteros
Possú³; Iván Andrés Delgado Vargas⁴.

RESUMEN

Actualmente, las regiones productoras de café están siendo afectadas por los gases de efecto invernadero (GEI); una forma de mitigar la emisión de GEI es a través de la captura de carbono. Se realizó la presente investigación, con el fin de estimar el carbono almacenado en biomasa aérea y bajo el suelo en el ecotopo 221A correspondiente al municipio de Consacá Nariño; donde se evaluó cuatro sistemas productivos de café de cuatro años de edad, mediante un Diseño de Bloques Completos al Azar (DBCA); los bloques están determinados por tres rangos altitudinales: I (>1800); II (1800–1500) y III (<1500) msnm; y los tratamientos corresponden a: café a libre exposición (T1), café-limón (T2), café-guamo (T3) y café-carbonero (T4). Para determinar el carbono almacenado se empleó el método no destructivo utilizando ecuaciones alométricas de cada especie; los resultados mostraron diferencias estadísticas significativas en el rango >1800 msnm (109,81 t ha⁻¹) y el más bajo almacenamiento de carbono en el rango <1500 msnm (42,39 t ha⁻¹); por otra parte, los resultados no mostraron diferencias estadísticas significativas en

¹ Estudiante de Ingeniería Agroforestal. Facultad de Ciencias Agrícolas. Universidad de Nariño, San Juan de Pasto, Colombia. mariaalejandra.j@gmail.com

² Profesor Tiempo Completo I.F. Ph.D. Facultad de Ciencias Agrícolas. Universidad de Nariño, San Juan de Pasto, Colombia. hectorramiro@hotmail.com

³ Profesor Tiempo Completo I.F. Ph.D. Facultad de Ciencias Agrícolas. Universidad de Nariño, San Juan de Pasto, Colombia. wballesterosp@gmail.com

⁴ Profesor Hora Cátedra IA. M.Sc. Facultad de Ciencias Agrícolas. Universidad de Nariño, San Juan de Pasto, Colombia. ivandelgado5@gmail.com

los sistemas, sin embargo, se cuantificó el mayor almacenamiento de carbono en T4 (74,82 t ha⁻¹) y el valor más bajo en T3 (56,56 t ha⁻¹). Lo anterior indica que la captura de carbono es mayor en sistemas de café asociados a especies leñosas a alturas superiores a 1800 msnm.

Palabras clave: Captura de carbono, carbono, ecuación alométrica, sistemas productivos de café.

ABSTRACT

Nowadays, coffee producing regions are being affected by greenhouse gases (GHG); one way to mitigate GHG emissions is through carbon storage. This investigation was carried out in order to estimate the stored carbon in above and belowground biomass in the ecotope 221A corresponding to Consacá Nariño; where four coffee productive systems of four years old were evaluated through a Random Blocks Design (RBD); the blocks are determined by three altitudinal ranges: I (> 1800); II (1800 - 1500) and III (<1500) masl; and the treatments correspond to: full sunlight exposure coffee (T1), lemon-coffee (T2), guamo-coffee (T3) and carbonero-coffee (T4). To determine the stored carbon, the non-destructive methodology was used, as well as the allometric equations of each specie; These results showed significant statistical differences in the range >1800 masl (109.81 t ha⁻¹) and the lowest carbon storage in the range <1500 masl (42.39 t ha⁻¹); On the other hand, the results did not show significant statistical differences in the systems, however, the highest carbon storage was quantified in T4 (74.82 t ha⁻¹) and the lowest value in T3 (56.56 t ha⁻¹). What is mentioned before indicates that carbon capture is higher in coffee systems associated with woody species at altitudes above 1800 masl.

Key words: Carbon storage, carbon, allometric equation, coffee productive systems.

INTRODUCCION

El calentamiento global, como resultado del constante aumento de las concentraciones de carbono (CO₂), se ha convertido en un grave problema (Santibañez, 2014); existe un grado

alto de incertidumbre con respecto a la forma como se verán afectadas las regiones productoras del grano, y cómo la emisión de gases de efecto invernadero (GEI) afectará a la producción global de café.

Una forma de mitigar los efectos de los GEI, es a través de la captura del carbono, manteniéndolo el mayor tiempo posible secuestrado, ya sea en el suelo o en forma de biomasa. Una alternativa son los sistemas agroforestales (SAF), con asociaciones de árboles de alto potencial de almacenamiento de carbono (Ramachandran y Nair 2014), donde la diversidad de especies arbóreas pueda ser establecida en diferentes diseños agroforestales, por ejemplo bosque protectores, barreras rompevientos, y árboles dentro de los cultivos, entre otros (Farfán, 2012).

La cuantificación del carbono almacenado especialmente en cultivos de alto valor comercial como el café, posibilita el desarrollo de modelos productivos eficientes en el uso del carbono, siendo esta afirmación apoyada por Isaza, (2014) quien menciona que “Este tipo de evaluaciones son insumo para generar alternativas y modelos de producción que permitan hacer una gestión eficiente del carbono, que en el futuro pueden recibir beneficios económicos por concepto de servicios ambientales”.

Dada la importancia y las consideraciones expuestas, esta investigación tuvo como objetivo, evaluar la captura de carbono en biomasa aérea y bajo el suelo en cuatro sistemas productivos de café en tres pisos altitudinales, ubicados en el ecotopo 221A, municipio de Consacá, departamento de Nariño.

MATERIALES Y METODOS

El estudio se realizó en el Municipio de Consacá, Nariño, el cual tiene una extensión aproximada de 96 Km²; una altitud entre 1200 y 4260 msnm; temperatura promedio de 20°C; precipitación de 1161 mm año⁻¹; humedad relativa promedia del 80% (Plan de Desarrollo Territorial, municipio de Consacá, 2019). Según CORPONARIÑO (2014), los suelos presentan características homogéneas, de textura limosa y color negro. De acuerdo

con el sistema de clasificación ecológica de Holdridge (1996); el área de estudio pertenece a la zona de vida de bosque húmedo premontano (bh-PM).

Fase de campo: Se seleccionaron tres lotes experimentales; ubicados en la localidad de San Antonio a una altitud de 1989 msnm, Bombona a una altitud de 1668 msnm y Cariaco Bajo a una altura de 1577 msnm.

Cada lote experimental cuenta con un área de 10000 m², donde se establecieron 4 tratamientos (Tabla 1), con un área de 2500 m²; Se utilizó un diseño de Bloques Completos al Azar (BCA); los bloques fueron definidos por la altitud sobre el nivel del mar y los tratamientos correspondieron a los sistemas productivos de café.

Las plantas de café establecidas corresponden a la variedad castillo y las especies utilizadas como sombrío correspondieron a: aguacate (*Persea americana* Mill.), limón tahití (*Citrus limon* (L.) Burm), guamo (*Inga sp*), y carbonero (*Albizia carbonaria* Britton). Los sistemas tienen una edad de cuatro años de establecidos. Para esta investigación se consideraron las especies: limón (tratamiento 2), guamo (tratamiento 3), carbonero (tratamiento 4); para la priorización de las especies se tuvo en cuenta el grado de adaptabilidad de estas en el sistema.

Tabla 1. Sistemas productivos de café, municipio de Consacá, Nariño.

Tratamiento	Componentes	Distancia de siembra (m)	Sistema de siembra	Plantas (ha)
T1	Café sin sombrío	Café: 1,3 x 1,3	Triángulo	6828
T2	Café con sombrío de limón	Café: 1,3* 1,3	Triángulo	6672
		Limón: 8*8	Cuadro	156
T3	Café con sombrío de guamo	Café: 1,3*1,3	Triángulo	6705
		Guamo: 9*9	Cuadro	123
T4	Café con sombrío de carbonero	Café: 1,3*1,3	Triángulo	6759
		Carbonero: 12x12	Cuadrado	69

Procedimiento. Para la evaluación de la captura de carbono en los sistemas productivos de café, se empleó el método no destructivo. Para estimar el carbono almacenado, se aplicaron las ecuaciones alométricas reportadas por: Quilio *et al.*, (2010); Alvarez *et al.*, (2011); Segura y Andrade, (2008) e IPCC, (2003). Con estas ecuaciones; se determinó la biomasa y almacenamiento de carbono de las especies leñosas, tomando como referencia la metodología recomendada por Rügnitz *et al.*, (2009) del Centro Mundial de Agroforestería (ICRAF).

Unidades de muestreo. Para determinar las unidades de muestreo, se adaptó el método de muestreo utilizado por Castellanos *et al.*, (2010) del Centro de Estudios Ambientales y de Biodiversidad. Universidad del Valle de Guatemala (CEAB-UVG); el cual considera la estratificación y la distribución de puntos de muestreo de manera aleatoria. El primer paso consistió en dividir el área de cada uno de los tratamientos del lote experimental en unidades de muestreo. En este caso se tomaron tres puntos al azar por tratamiento y en cada punto seleccionado se trazó tres subparcelas anidadas en círculo concéntrico.

Variable dasométrica. Para el componente café, se seleccionaron tres parcelas de 28 m² por tratamiento, y en estas se registró el valor del diámetro (cm) de cada planta de café a 15 cm del suelo. Para el componente árboles de sombrío, por cada tratamiento, se seleccionaron tres parcelas de 250 m², y se registró el valor del diámetro (cm) de cada árbol a 1,30 m (DAP).

Suelo. Para la toma de muestras de suelo, por cada tratamiento se seleccionó cinco sitios distribuidos al azar, y se tomaron 200 g por muestra a 30 cm de profundidad; estas fueron llevadas al laboratorio especializado de suelos de la Universidad de Nariño; donde se determinó el porcentaje de carbono orgánico.

Carbono almacenado en el café y árboles de sombrío. El valor de la biomasa de los árboles de café y sombra se obtuvo a través de las ecuaciones alométricas formuladas para de cada especie (Tabla 2). La ecuación establecida para limón, está dada de manera general para frutales y la empleada en carbonero es la utilizada en especies arbóreas de bosque húmedo premontano (Álvarez *et al.*, 2011).

La estimación del carbono almacenado en el café y árboles de sombrío, se realizó multiplicando el valor de la biomasa obtenida a través de las ecuaciones alométricas de cada especie por la fracción de carbono por defecto 0,5 (IPCC, 2003).

Tabla 2: Ecuaciones alométricas utilizadas por especie para la estimación de biomasa.

Ecuación alométrica	r²	Especie	Observación	Fuente
$BA = (0,1955 * D_{15}^{1,648}) * 1,266$	0.93	Café (<i>Coffea arabica</i> L.)	BA= Biomasa aérea (kg/árbol) D ₁₅ = diámetro del tronco en (cm) medido a 15 cm del suelo.	(Quilio <i>et al</i> ; 2010)
$BA = 0,01513 * D^{3,0054}$	0.94	Guamo (<i>Inga sp.</i>)	D=diámetro a 1,30 m (DAP)	(Quilio <i>et al</i> ; 2010)
$BA = EXP(-1,8656 + (2,3733 * LN(D)))$	0.89	Carbonero (<i>Albizia carbonaria</i> Britton.)	D=diámetro a 1,30 m (DAP)	(Alvarez <i>et al</i> ; 2011)
$BA = 10^{-1.11 + (2.64 * LOG(D))}$	0.95	Limón (<i>Citrus limon</i> (L.) Burm)	D=diámetro a 1,30 m (DAP)	(Segura y Andrade, 2008)
$R_{\text{raíces}} = e^{(-1.06 + 0.88 * LN(BA))}$	0.84	Biomasa de raíces a partir de biomasa arriba del suelo.	BA=Biomasa aérea (kg/árbol)	(IPCC, 2003)

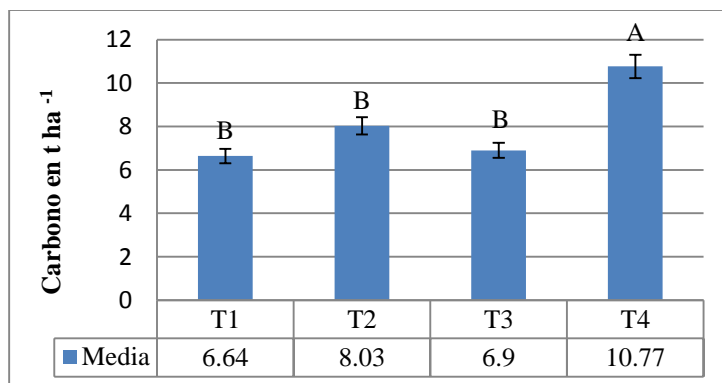
Carbono almacenado en raíces. Para la determinación de carbono en la raíz, primero se calculó la biomasa aérea del árbol a través de las ecuaciones alométricas de cada especie, el valor obtenido se reemplazó en la ecuación alométrica para la biomasa de raíces dada de manera general por el IPCC, (2003) y posteriormente este se multiplico por la fracción de carbono de 0,5.

Carbono almacenado en el suelo. Para calcular la densidad de carbono en el suelo se multiplicó la profundidad de muestreo por la densidad aparente, y esto a la vez por el porcentaje de carbono orgánico en el suelo obtenido a través de las muestras analizadas en el laboratorio.

Análisis estadístico. Los datos obtenidos en campo fueron sometidos a análisis de varianza (ANDEVA) con una probabilidad del 95%, y para las variables que presentaron diferencias estadísticas significativas se aplicó la prueba de comparación de medias de Tukey ($\alpha = 0,05$). Los datos fueron agrupados y ordenados en el programa de Excel, y fueron analizados en el programa Infostat versión 2018.

RESULTADOS Y DISCUSIÓN

Carbono almacenado en biomasa aérea (café y árboles de sombrío). Según el análisis de varianza (ANDEVA), se encontró diferencias estadísticas altamente significativas entre los tratamientos ($p= 0,002$) y al aplicar la prueba de comparación de medias de Tukey, se determinó que T4 (café-carbonero), presentó diferencias estadísticas significativas con respecto a los otros tratamientos, con un valor promedio de $10,77 \text{ t ha}^{-1}$, y el valor más bajo de almacenamiento de carbono se obtuvo en T1 con un promedio de $6,64 \text{ t ha}^{-1}$ (Figura 1); estos valores son semejantes a los reportados por Odar, (2018) y Cabrera *et al.*, (2016), en sistemas agroforestales en la provincia de Luya, Amazonas y en las provincias de Jaén y San Ignacio, Cajamarca Perú, donde reportan un valor promedio entre $6,38$ y $6,81 \text{ t ha}^{-1}$, respectivamente.



Las medias que no comparten una letra son significativamente diferentes ($p > 0,05$)

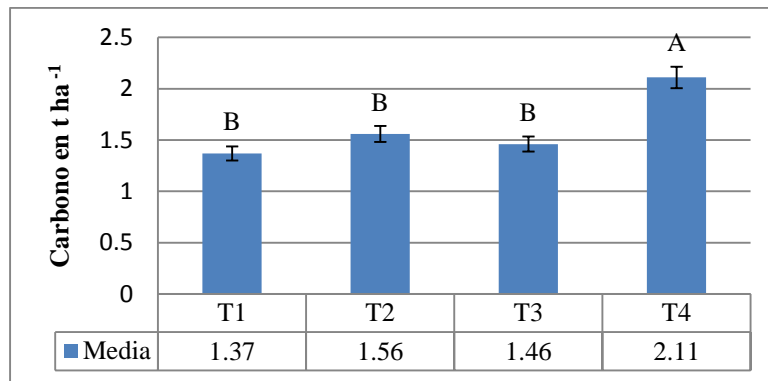
Figura 1: Prueba de comparación de Tukey para el almacenamiento de carbono en el componente café y árboles de sombrío en cuatro sistemas productivos de café.

Valores semejantes al T4, fueron reportados por López (2014) en sistemas con alta densidad de café y árboles de sombrío, donde la vegetación arbórea aporta 8,86 t ha⁻¹ y las plantaciones de café 2,59 t ha⁻¹, sumando un total de 11,45 t ha⁻¹; demostrando que las reservas de carbono son mayores en los sistemas productivos de café con sombra que en plantaciones de café a libre explosión o con poca sombra. Es importante resaltar que la captura de carbono puede aumentar durante la fase de crecimiento del árbol y disminuir de nuevo después de la cosecha o quema del mismo (Kim *et al.*, 2016).

Los resultados sugieren que en sistemas agroforestales de café con leñosas perennes leguminosas, tienen mayores reservas de carbono que el monocultivo de café (Hergoualch *et al.*, 2012; Balaba y Byakagaba, 2015); así mismo los estudios realizados por: Ávila *et al.*, (2001); Ibrahim *et al.*, (2006); Gómez y Oviedo, (2000), reportan que los árboles de grandes dimensiones en altura y diámetro pueden retener carbono en su madera por un tiempo prolongado; en el presente estudio los árboles de carbonero al presentar las mayores dimensiones en altura y diámetro llevaron a un mayor almacenamiento de carbono respecto a las demás especies leñosas.

Carbono almacenado en biomasa bajo el suelo (raíz y suelo).

Raíz. Según el ANDEVA se encontró diferencias estadísticas altamente significativas entre los tratamientos ($p=0,001$) y al aplicar la prueba de comparación de medias de Tukey se determinó que la mayor cantidad de carbono almacenado en la raíz se obtuvo en T4 con un valor de 2,11 t ha⁻¹; y el sistema que presentó menor almacenamiento de carbono fue T1 con un valor de 1,37 t ha⁻¹ como se observa en la figura 2; esta variabilidad se debe a la heterogeneidad espacial del desarrollo del sistema radicular, el cual depende de las interacciones de los factores genéticos y ambientales de las especies. De acuerdo a Stokes *et al.*, (2008); Katayama *et al.*, (2009); De Carvalho *et al.*, (2016), indican que la presencia del componente arbóreo promueve diferentes condiciones ambientales debido a la distancia de siembra y características morfológicas que influyen en el patrón de variabilidad espacial.



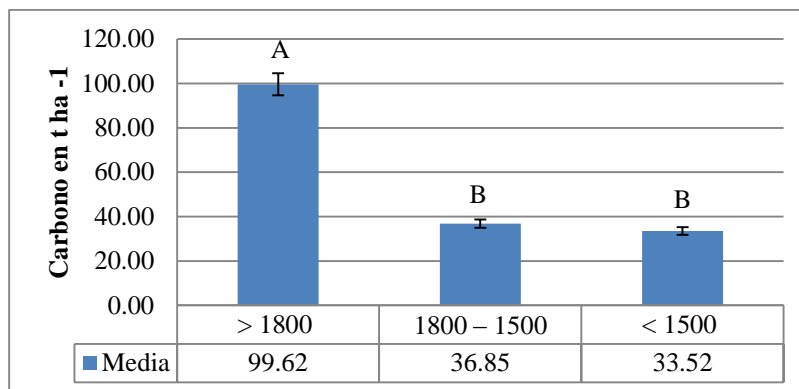
Las medias que no comparten una letra son significativamente diferentes ($p > 0,05$)

Figura 2: Prueba de comparación de Tukey para el almacenamiento de carbono en la raíz en cuatro sistemas productivos de café.

La mayor reserva de carbono en la raíz se evidencio en T4 debido al buen desarrollo radical en las diferentes profundidades, el cual mejora la estructura y porosidad del suelo como lo afirma Ling *et al.*, (2017). Por su parte, Ingaramo *et al.*, (2003) y Henríquez *et al.*, (2011) establecieron la relación directa que existe entre la penetración de raíces y el suelo, donde una disminución del espacio poroso genera disminución en el desarrollo radical.

Suelo. Al comparar el carbono almacenado en el suelo y al realizar el ANDEVA, no se encontró diferencias estadísticas significativas entre los tratamientos ($P= 0,9577$); no obstante se cuantificó el mayor carbono almacenado en T1 ($62,75 \text{ t ha}^{-1}$) y el menor valor en T3 ($48,10 \text{ t ha}^{-1}$).

Según el ANDEVA del carbono almacenado en el suelo en los tres rangos altitudinales, se encontró diferencias altamente significativas ($p= 0,001$); de acuerdo a la prueba de comparación de medias de Tukey (figura 3), se encontraron diferencias significativas, en donde la mayor cantidad de carbono almacenado se encuentra en altitudes $> 1800 \text{ msnm}$, con un valor promedio de $99,62 \text{ t ha}^{-1}$; en cambio el rango $< 1500 \text{ msnm}$ es el que presento el menor almacenamiento de carbonó con un valor promedio de $33,52 \text{ t ha}^{-1}$.

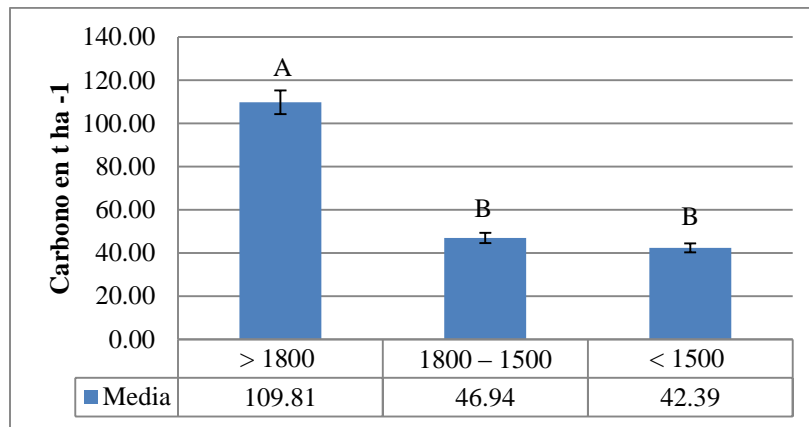


Las medias que no comparten una letra son significativamente diferentes ($p > 0,05$)

Figura 3: Prueba de comparación de Tukey para el almacenamiento de carbono en el suelo en tres rangos altitudinales.

Según Cabrera *et al.*, (2016), la cantidad de carbono almacenado en el suelo está directamente relacionada con el contenido de materia orgánica y la densidad del suelo; esto se ve reflejado en los resultados observados en el rango > 1800 msnm, estos suelos presentan una densidad de $0,74 \text{ g cc}^{-1}$ en cambio los suelos del rango < 1500 msnm se caracterizan por presentar una densidad $0,83 \text{ g cc}^{-1}$, en donde se encontraron los valores más bajos de almacenamiento de carbono; este resultado puede atribuirse a las condiciones de erosión y pérdida de suelo debido a las prácticas de manejo aplicadas a los sistemas productivos a esa altitud, como lo mencionan Ibrahim *et al.*, (2006) y Esquivel, (2014), que los procesos de erosión disminuyen la capacidad del suelo para retener carbono.

Carbono almacenado en biomasa aérea y bajo el suelo. Al realizar el ANDEVA, no se encontró diferencias estadísticas significativas entre los tratamientos ($P= 0,9378$), sin embargo se cuantificó el mayor almacenamiento de carbono en T4 ($74,82 \text{ t ha}^{-1}$) y el menor valor en T3 ($56,56 \text{ t ha}^{-1}$). Mediante el ANDEVA, se contrastó el almacenamiento de carbono en los tres rangos altitudinales, donde se encontró diferencias altamente significativas ($p= 0,001$); y de acuerdo a la prueba de comparación de medias de Tukey, se obtuvo la mayor cantidad de carbono almacenado en altitudes >1800 msnm, con un promedio de $109,81 \text{ t ha}^{-1}$; a diferencia del rango altitudinal <1500 msnm donde se presentó el menor almacenamiento de carbono con $42,39 \text{ t ha}^{-1}$ como se observa en la figura 4.



Las medias que no comparten una letra son significativamente diferentes ($p > 0,05$)

Figura 4: Prueba de comparación de Tukey para el almacenamiento de carbono en biomasa aérea y bajo el suelo en tres rangos altitudinales.

Al evaluar el almacenamiento total de carbono se encontró que la mayor capacidad de almacenamiento se presenta a una altitud > 1800 msnm y en la asociación café árboles, especialmente café-carbonero; como lo afirman Peng *et al* (2009); De Carvalho *et al* (2016)., Hergoulch *et al* (2012) “el almacenamiento de carbono depende de las condiciones climáticas; como también de la distribución de carbono en el ecosistema, donde interviene la densidad de plantación, tipo de árboles que conforma el sistema, capacidad de descomposición y presencia de actividad microbiana; factores que promueven una estabilidad del flujo del carbono”.

CONCLUSIONES

La captura de carbono en los sistemas productivos evaluados no presentaron diferencias estadísticas significativas, sin embargo, se cuantificó el mayor carbono almacenado en el sistema de café asociado con la especie carbonero con un promedio de $74,82 \text{ t ha}^{-1}$; demostrando que las reservas de carbono son mayores en los sistemas productivos de café asociados con especies leñosas.

El almacenamiento de carbono presento diferencias estadísticas significativas a una altitud > 1800 msnm con un valor promedio de $109,81 \text{ t ha}^{-1}$; esto puede atribuirse a las

condiciones topográficas y climáticas presentes, como también a las condiciones físicas, químicas y microbiológicas del suelo.

Los sistemas productivos de café asociados a especies leñosas son de gran viabilidad frente a la captura de carbono, siendo este un servicio ambiental a tener en cuenta en el manejo técnico del cultivo, con el fin de generar ingresos a través del pago por servicios ambientales (PSA), tales como los mercados de carbono que mejoran los medios de sustento de las comunidades locales.

REFERENCIAS BIBLIOGRAFICAS

Álvarez, E., Saldarriaga, J., Duque, A., Cabrera, K., Yepes, A., Navarrete, D. & Phillips, J. (2011). Selección y validación de modelos para la estimación de la biomasa aérea en los bosques naturales de Colombia. Instituto de Hidrología, Meteorología y Estudios Ambientales (IDEAM). Bogotá D.C. Colombia. 26 p

Ávila, G., F. Jiménez, J. Beer, M. Gómez y M. Ibrahim. (2001). Almacenamiento, fijación de carbono y valoración de servicios ambientales en sistemas agroforestales. *Rev. Agroforestería en las Américas* 8(30): 32-35.

Balaba, S. & Byakagaba, P. (2015). Soil organic carbon stocks under coffee agroforestry systems and coffee monoculture in Uganda. *Agriculture, Ecosystems and Environment*. 216: 188–193.

Cabrera, M., Vaca, S., Aguirre, F. & Aguirre, H. (2016). Almacenamiento de carbono en sistemas agroforestales cafetaleros en las provincias de Jaén y San Ignacio, Cajamarca, Perú. *Rev. Pakamuros* 4 (1): 43-54.

Castellanos, E., Quilo, A. & Mato, R. (2010). Metodología para la Estimación del contenido de carbono en bosques y sistemas agroforestales de Guatemala. 1° ed. Guatemala: Centro de Estudios Ambientales y de Biodiversidad de la Universidad del Valle de Guatemala y CARE-Guatemala. 31p.

Corporación Autónoma Regional de Nariño (CORPONARIÑO). (2014). Diagnóstico Biofísico y Socioeconómico Municipio de Consacá. Recuperada de <http://corponarino.gov.co/expedientes/intervencion/DIAGNOSTICO%20BIOFISICO%20Y%20SOCIO%20ECONOMICO%20DE%20CONSACA.pdf>

De Carvalho, L., Cardoso, M., De Sá Mendonça, E., Fernandes, A., Lopes, S. & Oliveira, S. (2016). Trees modify the dynamics of soil CO₂ efflux in coffee agroforestry systems. *Rev. Agricultural and Forest Meteorology*. 224 (1): 30-39. doi: <https://doi.org/10.1016/j.agrformet.2016.05.001>.

Esquivel, E. (2014). Evaluación de la Sustentabilidad de Plantaciones Dendroenergéticas en la Región Biobío Chile. Tesis doctoral. Universidad de Concepción. Concepción, Chile 93 p.

Farfán, F. (2012). Árboles con potencial para ser incorporados en sistemas agroforestales con café. Chinchiná (Colombia): Centro Nacional de Investigaciones de Café – Cenicafé. 88 p

Gómez, V & Oviedo, S. (2000). Estudio sobre fijación de carbono en plantaciones de Pinus ocarpa, de 11 años de edad en Quinta Buenos Aires, Estelí y Aurora. Managua, Nicaragua. UNA 57 p.

Henríquez, C., Ortiz, O., Largaespada, K., Portugués, P., Vargas, M., Villalobos, P. & Gómez, D. (2011). Determinación de la resistencia a la penetración, al corte tangencial, densidad aparente y temperatura en un suelo cafetalero, Juan Viñas, Costa Rica. *Rev Agronomía costarricense* 35(1): 175-184.

Hergoualch, K., Blancart, E., Skiba, U., Henault, C. & Harmand, J. (2012) Changes in carbon stock and greenhouse gas balance in coffee (*Coffea arabica*) monoculture versus an agroforestry system with *Inga densiflora*, in Costa Rica. *Revista Agric Ecosyst Environ* 148 (1):102–110.

Holdridge, L. (1996). *Ecología basada en zonas de vida*. Editorial IICA. San José, Costa Rica. 219 p

Ibrahim, M; Mora, J. & Rosales, M. (2006). *Potencialidades de los sistemas silvopastoriles para la generación de servicios ambientales*. CATIE. Turrialba, Costa 10 p

Ingaramo, O. E.; Paz G. A.; Dugo, P. M. (2003). *Evaluación de la densidad aparente en diferentes sistemas de laboreos de suelo, en el NO de la Península Ibérica*. Universidad Nacional del Nordeste. *Comunicaciones Científicas y Tecnológicas*. 4 p

Isaza, C. (2014). *Análisis de oportunidades para la gestión eficiente del carbono en un sistema de producción de café en el departamento de Caldas*. Tesis de maestría. Universidad de Manizales. Manizales, Colombia 88p.

Katayama, A., Kume, T., Komatsu, H., Ohashi, M., Nakagawa, M., Yamashita, M., Otsuki, K., Suzuki, M. & Kumagai, O. (2009). Effect of forest structure on the spatial variation in soil respiration in a Bornean tropical rainforest. *Rev Agricultural and Forest Meteorology*. 149(10): 1666-1673. doi: <https://doi.org/10.1016/j.agrformet.2009.05.007>.

Kim, D., Thomas, A., Pelster, D., Rosenstock, T. & Sanz, A. (2016). Greenhouse gas emissions from natural ecosystems and agricultural lands in sub-Saharan Africa: synthesis of available data and suggestions for further research. *Biogeosciences*, 4789–4809.

Ling, Q., Gao, X., Zhao, X., Huang, J., Li, H., Li, L., Sun, W. & Wu, P. (2017). Soil water effects of agroforestry in rainfed jujube (*Ziziphus jujube* Mill.) orchards on loess hillslopes in Northwest China. *Rev. Agriculture, Ecosystems & Environment*. 247 (1): 343-351. doi: <https://doi.org/10.1016/j.agee.2017.06.031>.

López, K. (2014). *Determinación de la disponibilidad de carbono según la tipificación de los sistemas agroforestales de café en las sub cuencas del río Yuracyacu y Yanayac, Perú*. Tesis de pregrado. Universidad Nacional de San Martín. Moyobamba, Perú 99 p.

Odar, B. (2018). Evaluación de almacenamiento de carbono en sistemas agroforestales de café (*coffea spp.*) en el anexo de vilaya, distrito de colcamar, provincia de luya, amazonas. Tesis de pregrado. Universidad Nacional Toribio Rodríguez de Mendoza de Amazonas. Chachapoyas, Perú. 31 p.

Panel Intergubernamental de Expertos sobre el Cambio Climático (IPCC). (2003). Good practice guidance for land use, land-use change and forestry. Japan: Institute for Global Environmental Strategies (IGES). 90 p

Peng, S., Piao, S., Wang, T., Sun, J. & Shen, Z. (2009). Temperature sensitivity of soil respiration in different ecosystems in china. *Soil Biology and Biochemistry*. 41(5):1008-1014.

Plan de Desarrollo Territorial Consacá. (PDT). (2019). Municipio de Consacá, Nariño. Plan de Desarrollo Territorial periodo 2016 – 2019. Recuperada de <https://cpd.blob.core.windows.net/test1/52207planDesarrollo.pdf>

Quilio, A., Castellanos, E. & Pons, D. (2010). Estudio de línea base de carbono en cafetales. Guatemala, UVG. 48 p.

Ramachandran, N. & Nair, V. (2014) Solid-fluid-gas: The state of knowledge on carbon sequestration potential of agroforestry systems in Africa. *Rev. Current Opinion in Environmental Sustainability* 6 (1): 22-27.

Rügnitz, M., Chacón, M. & Porro, R. (2009) Guía para la Determinación de Carbono en Pequeñas Propiedades Rurales. Centro Mundial Agroflorestal (ICRAF). 1° ed. Perú: Consorcio Iniciativa Amazónica (IA). 79 p.

Santibañez, E. (2014). Captura y almacenamiento de carbono para mitigar el cambio climático: modelo de optimización aplicado a Brasil. *Rev. Inst. Contam. Ambie.* 30 (3): 235-245.

Segura, M. & Andrade, H. (2008). Cómo Construir Modelos Alométricos de Volumen, Biomasa o Carbono de Especies Leñosas Perennes. Rev. Agroforesteria en las Américas (CATIE). 46: 89-96. doi: <http://hdl.handle.net/11554/6935>

Stokes, A., Norris, E., Van Beek, H., Bogaard, T., Cammeraat, E., Mickovski, B., Fourcaud, T. (2008) How Vegetation Reinforces Soil on Slopes. En: Slope Stability and Erosion Control. Rev. Ecotechnological Solutions 65–118